

京都大学工学部 正会員 島 昭治郎  
 ○ 福井大学工学部 " 岩井 寛彦

1. まえがき：掘削積込機械と運搬捨土機械のより組み合せ機械の作業能力推定、および組み合せ台数の決定においては、機械の待ち時間の推定が大きな問題となる。従来、いくつかの待ち時間推定法が提案されてきたが、実際の施工計画業務において待ち時間の推定が正当に行われる場合が少ないとさうである。その理由は、1つとして次の二点が挙げられる。組み合せ機械における待ち時間問題は、積込時間や到着時間間隔の分布が待ち行列理論で解析解が与えられていないようである。これらの時間分布と待ち時間の推定に大きな影響を与えるため、実際の時間分布に対する解析解を適用することには疑問が残る。一方、電子計算機によるシミュレーションを行なえば、実際近く近い待ち時間推定が可能であるが、現実の業務では時間的制約や手軽さの問題から採用にくく、ソラ難点がある。したがって、現時まで待ち時間の推定を実際の業務に取り入れるには、実際近く近い作業時間分布を扱うことが必要で、1つも手計算で簡単に行なえる方法である必要がある。ここでは、この二つを1つ試みを報告する。

2. 待ち時間推定の簡便法：著者らは著しく統計的非線形術理論に基づく待ち合せ問題の近似解法を提案した。その概論のみを述べると、到着時間間隔、サービス時間（たとえば積込時間）の分布が正規分布であるとき、それが平均値と分散が与えられれば、待ち時間、出発時間間隔の平均値、分散が因より近似的に求められることがある。到着時間間隔、サービス時間の平均値・分散をそれぞれ  $m_a, \sigma_a^2, m_s, \sigma_s^2$  とし、 $m_d = m_s - m_a, \sigma_d^2 = \sigma_a^2 + \sigma_s^2$  とするとき、たとえば待ち時間の平均値  $W_d$  が図-1 から求められる。到着時間間隔、サービス時間がアーラン分布に従うとした場合、位相  $\lambda \sim 30$  の範囲で、この方法により妥当な近似解が得られることが確かめられた。

3. 組み合せ機械における待ち時間の推定：組み合せ機械の待ち合せにおいては、積込を受ける運搬捨土機械の数が決まつてから、サービスを受ける客が無限の場合と異なり、特殊な問題が生じる。以下では、ショベルとダンプトラックの組み合せを例にとって、待ち時間の推定方法を述べる。  
 1) 記号の定義：  
 $C_d$ ：積込時間や待ち時間を含む、ダンプのサイクルタイム、 $N_d$ ：ダンプ台数、 $C_s$ ：ショベルの1回の積込時間（1アーラン時間）、 $N_s$ ：1台のダンプに対するショベルの積込回数、 $W_d$ ：ダンプの待ち時間の平均値。  
 2) 準備：  
 $C_d, N_d, C_s, N_s$  はデータとして与えられるとする。1台のダンプに対する積込時間： $m_s$ 、ダンプの到着時間間隔： $m_a$  は次式で与えられる。  

$$m_s = C_s \times N_s \quad \dots \dots (1)$$

$$m_a = (C_d + m_s + W_d) / N_d \quad \dots \dots (2)$$

式(2)でダンプの平均待ち時間  $W_d$  が含まれるので、 $m_a$  を直接求めることはできず、後述するように何回かの試算が必要である。Z.T. は述べた到着時間間隔、積込時間の分散  $\sigma_a^2, \sigma_s^2$  は厳密には実測して求めねばならないが、施工計画作成時では実測データが得られないから、近似的に次のよう  $\sigma_a^2, \sigma_s^2$  を求める。著者らの実測では、  
 到着時間間隔、積込時間ともほぼアーラン分布に従うことがわかるので、  
 各時間分布のアーラン分布位相  $k_a, k_s$  は次のようなる値をとる。  

$$k_a = m_a^2 / \sigma_a^2 = \lambda \approx 2 \sim 8 \quad \dots \dots (3)$$

$$k_s = m_s^2 / \sigma_s^2 \approx 12 \quad \dots \dots (4)$$

ここで、次式から  $\sigma_a^2, \sigma_s^2$  を求めねばよい。

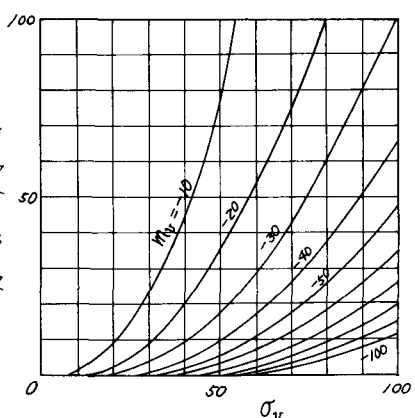


図-1

$$\Omega_a^2 = M_a^2 / l \quad \dots (5) \quad \Omega_s^2 = M_s^2 / lZ \quad \dots (6)$$

式(5)における  $l$  の値は次のようく与えられる。a)ダンプの到着がいじょうに不規則な場合:  $l = Z \sim 3$ , b)やや不規則な場合:  $l = 3 \sim 5$ , c)むきり規則的の場合:  $l = 6 \sim 8$ 。以上のより  $K$  して求めた  $M_a$ ,  $M_s$ ,  $\Omega_a^2$ ,  $\Omega_s^2$  を用いて、図-1 やシダンプの平均待ち時間  $W_d$  が求まる。3) ダンプ待ち時間  $W_d$  係数のトライアル計算:  
i) 式(1)より  $M_s$  を、式(6)より  $\Omega_s^2$  を求める。ii)  $W_d$  の値を適当に仮定する (ex.  $W_d = 0$ )。iii) 式(2)より  $M_a$ , 式(5)より  $\Omega_a^2$  を求める。iv)  $M_{tr} = M_s - M_a$ ,  $\Omega_{tr}^2 = \Omega_a^2 + \Omega_s^2$  を計算する。v)  $M_{tr}$ ,  $\Omega_{tr}$  から図-1 を用いて  $W_d$  を求める。vi) vi) で求めた  $W_d$  と ii) で仮定した  $W_d$  が一致するまで ii) ~ vi) を繰り返す。

又、組み合せ機械の時間当たり作業能力の推定: 待ちによるショベルの遊休率  $P_0$  は次式で与えられる。  

$$P_0 = 1 - M_s / M_a \quad \dots (7)$$

$P_0$  を用いて、組み合せ機械の 1 時間当たり作業能力  $\langle Q \rangle$  が次式で与えられる。  

$$\langle Q \rangle = (1 - P_0) \cdot t_s \cdot g / M_s \quad \dots (8)$$

ここで、 $t_s$ : 小移動などを除いたショベルの稼働時間率,  $g$ : ダンプ 1 台の積載容量とする。

5. 数値計算例: 1.5m<sup>3</sup> パワー・ショベル × 18 T ダンプの組み合せを例にする。

1) 基本データ: 積込時間や待ち時間を含むまでのダンプのサイクルタイム  $C_d = 300$  秒, ダンプ台数  $N_d = 3$  台, 1 台のダンプの積載量  $g = 9 m^3$  (地山量), ショベルの 1 すべくの時間  $C_s = 20$  秒, 1 台のダンプに対するショベルの積込回数  $N_s = 9 m^3 / 1.5 m^3 = 6$  回。2) 計算手順: 3.3) の手順 i) ~ vi) に従う。i)  $M_s = 20$  秒/回 × 6 回 = 120 秒,  $\Omega_s^2 = 120^2 / 12 = 1,200$ 。ii)  $W_d = 100$  秒と仮定。iii)  $M_a = (300 + 120 + 100) / 3 = 173$  秒,  $l = 5 \times 3 \sim 7$   $\Omega_a^2 = 173^2 / 5 = 5,886$  iv)  $M_{tr} = 120 - 173 = -53$ ,  $\Omega_{tr}^2 = 1,200 + 5,886 = 7,106$ ,  $\Omega_{tr} = 85$ 。v) 図-1 より  $W_d = 50$  秒。vi)  $W_d = 50$  秒と繰り返すと  $W_d = 43$  秒と繰り返すと  $W_d = 43$ ,  $W_d = 43 \times 1$  秒と繰り返すと  $W_d = 44$ , よってダンプの平均待ち時間  $W_d$  の値を 43 秒とする。3) 時間当たり作業能力: 式(2)より  $M_a = (300 + 120 + 43) / 3$  台 = 154 秒, 式(7)より 待ちによるショベルの遊休率  $P_0 = 1 - 120 / 154 = 0.22$ , ショベル稼働時間率  $t_s = 0.9 \times 0.78 \approx 0.7$  (式(8)より), ショベル・ダンプの時間当たり攝取運搬能力  $\langle Q \rangle = (1 - 0.22) \cdot 0.7 \cdot 9 m^3 / (60 \times 60) = 190 m^3 / hr$  となる。4) 組み合せ台数の検討: ダンプ台数を変えて同様の計算を行った結果を図-2 に示す。また、ショベル・ダンプの時間当たり単価をそれぞれ 7,000 円/hr/台, 5,000 円/hr/台として作業数量当たり単価を計算した結果を図-3 に示す。図-2, 3 中には、到着時間間隔、積込時間分布に基づいた指數分布法(従う)と Griffis の方法<sup>2)</sup>による結果も示した。ダンプ台数が少ないと待ち時間が大きいが、2つの手法に大きな差はないが、ダンプ台数が増えるにつれてあまり程度の差がでてくる。Griffis の方法は待ち時間でやや過大に推定することもあるため、時間当たり作業能力を過小に推定する結果をもたらす。また、図-2, 3 中には、待ち時間で多く大きく考慮せず、作業能力のバランスのとれたまとめた結果も示すが、待ち時間で考慮する場合と比べてかなりの差が出ることがわかる。

6. あとがき: ここでは述べた方法により、多少めで簡単な実際近似待ち時間で考慮した作業能力を推定することができる。待ち時間で考慮しない場合と比べてかなりの差があることから、今後、施工計画作成において参考にする必要があると考えられる。また、ここでの方法はダンプがショベルごとに待ち行列をつくる場合(実際の作業ではほとんどこの場合が多い)を対象とした。図-1 などの計算図表の作成には京都大学、名古屋大学大型計算センターを利用した。

参考文献: 1) 岩・荒井: 土工機械の組合せに関する基礎的研究, 土木学会論文報告集, No. 194, pp. 127~140 (1971)

2) F. H. Griffis: Optimizing Haul Fleet Size Using Queueing Theory, J. Const. Div. Proc. of ASCE, Vol. 94, pp. 75~88 (1968)

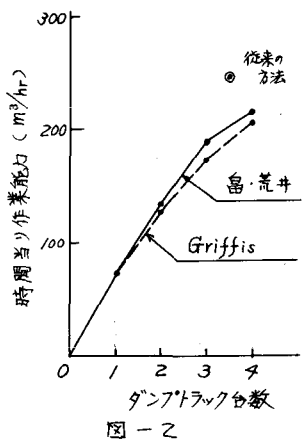


図-1

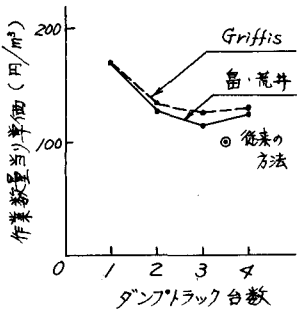


図-2

0 1 2 3 4

ダントントラック台数